

حذف اثر ساختگاه از نگاشتهای ایستگاههای سطحی برای بهبود پارامترهای هشدار سریع زمین‌لرزه

محمدعلی سرمدی^۱، رضا حیدری^{۲*}، نوربخش میرزائی^۳ و حمیدرضا سیاه‌کوہی^۴

^۱ دانش آموخته دکتری گروه علوم زمین، واحد علوم و تحقیقات، دانشگاه آزاد اسلامی، تهران، ایران

^۲ استادیار گروه علوم زمین، واحد علوم و تحقیقات، دانشگاه آزاد اسلامی، تهران، ایران

^۳ استاد گروه زلزله‌شناسی، مؤسسه ژئوفیزیک دانشگاه تهران، تهران، ایران

^۴ استاد گروه فیزیک زمین، مؤسسه ژئوفیزیک دانشگاه تهران، تهران، ایران

(دریافت: ۱۴۰۰/۰۳/۰۴، پذیرش: ۱۴۰۰/۰۵/۱۲)

چکیده

محاسبه دقیق پارامترهای هشدار سریع زمین‌لرزه نقش مهمی در اعلام خطر واقع‌بینانه و کاهش تلفات ناشی از زمین‌لرزه‌ها دارد. اثر ساختگاه یکی از عوامل تأثیرگذار بر پارامترهای هشدار سریع زمین‌لرزه (شامل τ_{ps} , τ_{log} , τ_c و B) است. در این مطالعه برای بررسی اثر ساختگاه بر پارامترهای هشدار سریع زمین‌لرزه از ۱۸۳۰ شتاب‌نگاشت زلزله‌های رخداده طی سال‌های ۲۰۰۸ تا ۲۰۲۰ ثبت شده در شش ایستگاه شتاب‌نگاری وابسته به شبکه KiK-net ژاپن استفاده شده است. این شتاب‌نگاشتها مربوط به ایستگاههای سطحی و درون‌چاهی هستند. در این پژوهش برای حذف اثر ساختگاه از شتاب‌نگاشتها در حوزه زمان–بسامد از تبدیل فوریه پنجره کوتاه (STFT) و واهمامیخت استفاده شد. پس از حذف اثر ساختگاه از شکل موج ایستگاههای سطحی، مقادیر همه پارامترهای هشدار سریع زمین‌لرزه مورد نظر و بهویژه τ_{max} , τ_c , τ و B به مقادیر آنها روی سنگ بستر نزدیک شد و بهبود پیدا کردند. همچنین نتایج این پژوهش نشان داد پارامترهای هشدار سریع τ_{log} و τ_{ps} نسبت به سایر پارامترهای هشدار سریع زمین‌لرزه، تأثیرپذیری کمتری از اثر ساختگاهی دارند. به طور کلی، مقادیر پارامترهای هشدار سریع وابسته به سامد τ_c و τ_{ps} از اصلاح اثر ساختگاه از مؤلفه قائم افزایش می‌یابند. در مقابل، پارامترهای B , τ_{log} و τ پس از حذف اثر ساختگاهی در تمامی ایستگاه‌ها کاهش یافند. پس از اصلاح اثر ساختگاه، اختلاف مقادیر همه پارامترها در محاسبات روی سطح و سنگ بستر کاهش یافت که این نشان دهنده بهبود نتایج در مطالعات مربوط به سامانه‌های هشدار سریع زمین‌لرزه در تخمین پارامترهای چشم‌های زمین‌لرزه است.

واژه‌های کلیدی: هشدار سریع زمین‌لرزه، اثر ساختگاه، تبدیل فوریه پنجره کوتاه، شبکه KiK-net

۱ مقدمه

در حال حاضر، کاهش خطرپذیری زمین لرزه‌ای، مستلزم در اولویت قرار دادن مقاوم‌سازی سازه‌ها و ایجاد سامانه‌های هشدار سریع است. پیش‌بینی زمان، مکان و بزرگ‌گای زمین لرزه‌های آینده هنوز ممکن نیست، ولی فناوری هشدار سریع، توانایی اعلام وقوع زمین لرزه را در لحظاتی کوتاه پیش از رسیدن امواج سطحی زمین لرزه دارد (کاناموری، ۲۰۰۵). در صورت کافی بودن زمان هشدار، با آمادگی عمومی می‌توان تأسیسات حیاتی و سامانه‌های حمل و نقل را در وضعیت ایمن‌تر قرار داد و عملیات امداد و نجات را بهبود بخشد.

یکی از مهم‌ترین مشکلاتی که در سامانه‌های هشدار سریع زلزله وجود دارد، تخمین اشتباہ پارامترهای چشمۀ زمین لرزه است که ممکن است به از دست رفتن امکان صدور پیام هشدار یا ارسال پیام اشتباہ منجر شود. این پارامترها به شدت بر نتایج و میزان تأثیر سامانه هشدار سریع در کاهش خطرپذیری لرزه‌ای اثر می‌گذارند. از اختلاف زمان دریافت امواج فشاری و برشی زمین لرزه می‌توان برای فرصت زمان هشدار استفاده کرد (کاناموری، ۲۰۰۵). با فرض سریع بودن زمان هشدار، برای انجام دادن فوری عملیات کاهش خطرپذیری، کافی است بر اساس برآوردهایی که از مشاهدات اولین ثانیه‌های موج P وجود دارد، تصمیم لازم برای فعل کردن یا نکردن ابزار اعلام خطر گرفته شود. برای این تصمیم‌گیری دو نوع خطای ممکن است به وجود آید. نوع اول خطای، فعل نشدن ابزار اعلام خطر در زمانی است که باید فعل شود و نوع دوم خطای هم فعل شدن آن در زمانی است که باید فعل شود. خطاهای نوع اول را اعلام‌های خطر ازدست‌رفته (missed alarms) و خطاهای نوع دوم را اعلام‌های خطر اشتباه (false alarms) می‌نامند (کاناموری، ۲۰۰۵). اثر ساختگاهی، یکی از مهم‌ترین موارد تأثیرگذار در ایجاد چنین خطاهایی در سامانه‌های هشدار سریع است

(اسپالاروسا و همکاران، ۲۰۱۹). اسپالاروسا و همکاران (۲۰۱۹) با درنظر گرفتن اثر ساختگاهی و بیشینه جابه‌جایی ثبت شده، تغییرات تصادفی لگاریتم بیشینه سرعت زمین (PGV) را در مطالعات هشدار سریع زمین لرزه کاهش دادند. در آن مطالعه مشخص شد دقت و صحت بیشینه سرعت زمین بهینه شده، به تفسیر بهتر شیوه‌نامه‌های هشدار برای واکنش خودکار منجر می‌شود. با توجه به اینکه اثر ساختگاه به‌وضوح بر دامنه و محتوای بسامدی نگاشت زمین لرزه تأثیر می‌گذارد، با شناسایی و حذف این اثر می‌توان عملکرد مؤثرتر و مطمئن‌تری را از سامانه‌های هشدار سریع زلزله انتظار داشت. در مطالعه حاضر تلاش می‌شود نقش اثر ساختگاه در تخمین سریع پارامترهای چشمۀ زمین لرزه از بخش ابتدایی موج P، ارزیابی شود تا از دستاورده آن بتوان اعلام خطرهای ازدست‌رفته و اشتباہ را در سامانه‌های هشدار سریع کمینه کرد. اثر ساختگاه شامل ضریب تقویت (بزرگ‌نمایی) لایه‌های کم‌سرعت و ضریب تضعیف ساختگاه یا نزدیک سطح است (بور، ۲۰۰۳؛ اندرسون و هاف، ۱۹۸۴ و سرمدی و همکاران، ۲۰۰۳). (۲۰۲۱)

لی و اسپینوسا- آراندا (۲۰۰۲)، کاناموری (۲۰۰۵) و آلن و همکاران (۲۰۰۹)، مروری کلی بر تاریخچه پژوهش‌های صورت گرفته درباره سامانه هشدار سریع ارائه کردند. موضوع سامانه هشدار سریع لرزه‌ای را کویر در سال ۱۸۶۸، پس از زمین لرزه با بزرگ‌گای $M=7$ در گسل هایوارد کالیفرنیا مطرح کرد (ناکامورا، ۱۹۸۸). توکسوز و همکاران (۱۹۹۰) یک سامانه هشدار سریع الگو برای زمین لرزه‌های شب‌لغز ارائه کردند که در آن لغزش فقط می‌تواند با جابه‌جایی افقی تقریب زده شود. در اولین استفاده محلی در آمریکا، سازمان زمین‌شناسی آمریکا (USGS) سامانه هشدار سریعی را برای پس‌لرزه‌های (USGS) زمین لرزه لوماپریتا در سال ۱۹۸۹ با بزرگ‌گای $M_w=6/9$ در سانفرانسیسکو اجرا کرد. ایده برآورد موقعیت بر اساس

اواداکا و همکاران (۲۰۰۳) روشی را برای استفاده در سامانه‌های هشدار سریع زمین‌لرزه آژانس هواشناسی ژاپن معرفی کردند که با استفاده از مدل کردن رفتار افزایش دامنه چند ثانیه ابتدایی موج P قادر است تخمین مناسبی برای فاصله رومرکزی و بزرگای زمین‌لرزه به دست آورد. رفتار دامنه فازهای ابتدایی امواج زمین‌لرزه (حدود ۳ ثانیه ابتدایی)، می‌تواند تابع عوامل بسیاری از جمله خصوصیات چشمی زمین‌لرزه و محیط انتشار امواج زمین‌لرزه باشد (مانند جهت‌یافتنگی). اواداکا و همکاران (۲۰۰۳) نشان دادند شبیه پوش این دامنه‌های ابتدایی به خوبی با فاصله رومرکزی (Δ) زمین‌لرزه ارتباط دارد. به همین منظور آنها تابع $y = Bt \cdot \exp(-At)$ را تعریف و با استفاده از روش کمترین مربعات، آن را بر مقدار دامنه‌های مشاهده شده چند ثانیه ابتدایی نگاشتهای زمین‌لرزه برآش و پارامترهای A و B را تعیین کردند. در این تابع، پارامتر t زمان رسید موج ابتدایی P و پارامتر B نمایانگر شبیه بخش ابتدایی امواج P است. آنها نشان دادند رابطه خطی مناسبی بین $\Delta - \log y$ و $\log B$ وجود دارد که مستقل از بزرگای B/Ae زمین‌لرزه است. وقتی پارامتر A مثبت است، مقدار B/Ae برابر بزرگ‌ترین دامنه است. این رفتار معمولاً برای زمین‌لرزه‌های کوچک اتفاق می‌افتد که دامنه آنها به سرعت افزایش می‌یابد و بلا فاصله پس از دریافت فاز P افت می‌کند. وقتی A منفی است، دامنه به صورت نمایی در زمان افزایش می‌یابد که ویژگی زمین‌لرزه‌های بزرگ است (اواداکا و همکاران، ۲۰۰۳).

۲-۲ روش‌های برآورد بر اساس بسامد
به طور کلی جنبش زمین‌لرزه‌ای ایجاد شده با زمین‌لرزه‌های نیرومند نسبت به زمین‌لرزه‌های کوچک‌تر، حاوی بسامدهای کمتر است. درنتیجه می‌توان بزرگای یک زمین‌لرزه را با استفاده از بسامد غالب یا f^p یک سیگنال تخمین زد. روش‌های متعددی برای محاسبه f^p از

دامنه را کناناموری (۱۹۹۳) معرفی کرد. در این روش یک رابطه تضعیف بر بیشینه دامنه شتاب مشاهده شده از داده‌ها برآش می‌شود و پارامترهای بزرگا، عرض و طول جغرافیایی موقعیت رویداد با کمینه کردن خطای بین مشاهدات و مقادیر پیش‌بینی شده تعیین می‌شوند.

آلن و کناناموری (۲۰۰۳) سامانه هشدار زمین‌لرزه AlarmS را معرفی کردند که روشی برای شبکه لرزه‌ای کالیفرنیا (CISN) است. این الگوریتم با فرض وجود رابطه خطی بین بزرگای لرزه‌ای و دوره تناوب غالب جنبش زمین، بزرگای رویداد را از دوره تناوب غالب ثانیه‌های اول موج P محاسبه می‌کرد. وو و کناناموری (۲۰۰۵) روشی را بر اساس دوره تناوب غالب و دامنه جابه‌جاگی برای سامانه هشدار سریع تایوان معرفی کردند. روش ناحیه‌ای برای هشدار سریع لرزه‌ای در ژاپن و مکزیک استفاده شده است (اوکادا و همکاران، ۲۰۰۳ و اسپینوسا- آراندا و همکاران، ۱۹۹۵).

امروزه تعداد زیادی سامانه هشدار سریع در ژاپن وجود دارد که UrEDAS (شناسایی سریع زمین‌لرزه و سامانه اعلام خطر) مهم‌ترین سامانه موجود است. پیشرفت و توسعه UrEDAS با سامانه اعلام خطر معمولی آغاز شد که راه آهن ژاپن (JNR) در میانه دهه ۱۹۶۰ آن را ساخته بود. سامانه اعلام خطر برای جلوگیری از خروج از ریل قطارهای تندرو طراحی شده بود (ناکامورا و توکر، ۱۹۸۸). زمان شروع دریافت اولین فازهای لرزه‌ای از اهمیت بسیار زیادی برخوردار است؛ زیرا اساس کار سامانه‌های هشدار سریع زلزله، استفاده از پنجره زمانی چند ثانیه اول موج P است. در ادامه تعدادی از روش‌های تعیین پارامترهای هشدار سریع معرفی می‌شود.

۲ روش‌های تعیین پارامترهای اصلی سامانه هشدار سریع زمین‌لرزه
۲-۱ روش پوش $B-\Delta$

گرفته که در آن پارامتر c در طول پنجره زمانی ۳ ثانیه ابتدایی دریافت موج اندازه گیری شده است. این روش نشان می‌دهد رابطه مناسبی بین دوره تناوب میانگین و بزرگای زمین لرزه برای داده‌های تایوان و کالیفرنیا برقرار است (وو و کاناموری، ۲۰۰۵ و وو و همکاران، ۲۰۰۷). شیه و همکاران (۲۰۰۸) نشان دادند استفاده هم‌زمان از دوره تناوب غالب و دوره تناوب میانگین برای تعیین محتوای سامدی سیگال یک زمین لرزه بسیار مناسب تر است. روش دیگر را کاناموری (۲۰۰۵) ارائه کرد که اصلاح شده روش ناکامورا (۱۹۸۸) است و در آن، دوره تناوب میانگین در طول پنجره زمانی ثابت اندازه گیری می‌شود. اگر $u(t)$ جابه‌جایی زمین باشد، می‌توان نسبت r را برای مؤلفه قائم این گونه محاسبه کرد:

$$r = \frac{\int_0^{\tau_0} u^2(t) dt}{\int_0^{\tau_0} u^2(t) dt} \quad (4)$$

این انتگرال معمولاً بین صفر تا ۳ ثانیه محاسبه می‌شود.

حال با استفاده از قضیه پارسوال خواهیم داشت:

$$r = \frac{4\pi^2 \int_0^\infty f^2 |\hat{u}(f)|^2 df}{\int_0^\infty |\hat{u}(f)|^2 df} = \frac{4\pi^2 \langle f^2 \rangle}{\text{و}} \quad (5)$$

$$\tau_c = \frac{1}{\sqrt{\langle f^2 \rangle}} = \frac{2\pi}{\sqrt{r}} \quad (6)$$

۳-۲-۲ دوره تناوب طیفی τ_{log}

زیو (۲۰۱۴) پارامتر جدید τ_{log} را معرفی کرد که در آن تأثیر بسامدهای بالا کاهش یافته است. برای محاسبه این پارامتر، فقط از مؤلفه سرعت و ۴ ثانیه ابتدایی موج P استفاده شده و مجموعه ضرایب طیف توان $P_i(w_i)$ با تبدیل فوریه به دست آمده است. برای کاهش تأثیر بسامد-های بالا، باید در بازه $1/10$ تا 10 هرتز، نمونه برداری مجدد را با فواصل $1/10$ لگاریتم واحد بسامد انجام داد و مقدار τ_{log} را با رابطه زیر محاسبه کرد:

$$\log(\tau_{log}) = \frac{\sum_i (P_i^*(w_i) \log(\frac{1}{w_i}))}{\sum_i (P_i^*(w_i))} \quad (7)$$

قسمت‌های اولیه نگاشتهای لرزه‌ای پایه گذاری شده و توسعه یافته است. در ادامه این روش‌ها معرفی می‌شوند:

۲-۲-۱ دوره تناوب غالب τ_{max}^P

یکی از اولین پارامترهای موج P دریافتی برای تخمین بزرگای زمین لرزه در سامانه‌های هشدار سریع، دوره تناوب غالب (τ_{max}^P) است (ناکامورا، ۱۹۸۸). این پارامتر بدون اینکه به فاصله کانونی حساسیت نشان دهد، به خوبی بزرگای زمین لرزه را تخمین می‌زند. مزیت روش این است که در فاصله زمانی خیلی کوتاه از دریافت اولین موج لرزه‌ای P ، بزرگای زمین لرزه را تخمین می‌زند. در این روش دوره تناوب غالب موج P در زمان i (τ_i^P) از رابطه زیر محاسبه می‌شود:

$$\tau_i^P = 2\pi \sqrt{\frac{X_i}{D_i}}, \quad (1)$$

که

$$X_i = \alpha X_{i-1} + x_i^2, \quad (2)$$

$$D_i = \alpha D_{i-1} + \left(\frac{dx}{dt} \right)_i^2 \quad (3)$$

که x_i داده ثبت شده سرعت زمین، X_i مربع سرعت برآبازش شده (accumulated) زمین، D_i مربع مشتق سرعت زمین و α ضریب یکتوختی است. آلن و کاناموری (۲۰۰۳) با استفاده از ایده ناکامورا درباره تناوب سامد غالب موج P با بزرگای زمین لرزه، روش ElarmS را ارائه کردند.

۲-۲-۲ دوره تناوب میانگین c

روش تخمین بزرگای زمین لرزه بر اساس اندازه گیری دوره تناوب غالب، به تهایی چندان دقیق و مطلوب نیست. وو و کاناموری (۲۰۰۵) به جای استفاده از دوره تناوب غالب در تخمین بزرگای زمین لرزه، از میانگین دوره تناوب (τ_c)، در چند ثانیه اول دریافت موج استفاده کردند. این روش بر اساس روش ناکامورا (۱۹۸۸) شکل

زلزله‌های تایوان را مطالعه کردند و میانگین اختلاف را برای بزرگاهای ۴ تا ۵، ۵ تا ۶ و بیشتر از ۶ به ترتیب $0/49$ ، $0/46$ و $0/36$ به دست آوردند. بیشترین اختلاف‌ها در ایستگاههای حاشیه نواحی رسوبی و دشت‌ها رخ داد. این پژوهشگران نتیجه گرفتند شرایط زمین‌شناسی محلی و اثر ساختگاه در تعیین بزرگای زلزله تأثیرگذار است.

برای تخمین دقیق‌تر بزرگاً باید تصحیح اثر ساختگاه بر شکل موج زلزله اعمال شود تا اختلاف ناشی از تأثیر شرایط زمین‌شناسی ساختگاه‌های مختلف بر شکل موج کمینه شود (یاما‌موتو و همکاران، ۲۰۰۸). این کار معمولاً با ضرب یک عدد انجام می‌گیرد که به صورت تجربی تخمین زده می‌شود و به بسامد وابسته نیست. برای تخمین دقیق‌تر بزرگاً از بیشترین دامنه، شکل‌های طیفی یا محتوای بسامدی، باید شکل موج‌ها با توجه به شرایط ساختگاهی (برای مثال، ساختگاه سنگی) و با درنظر گرفتن وابستگی بسامدی عوامل ساختگاهی تصحیح شوند؛ به‌ویژه زمانی که برای تعیین بزرگاً تنها تعداد کمی ایستگاه نیاز است. شکل موج‌های اصلاح‌شده (با توجه به اثر ساختگاه)، با به کارگیری تبدیل فوریه، ضرب ضریب ساختگاه در هر بسامد و سپس عکس تبدیل فوریه تخمین زده می‌شوند (کاپریو و همکاران، ۲۰۱۱). تبدیل فوریه و عکس آن برای بازه‌های زمانی کوچک (برای هر یک ثانیه یا کمتر) روی شکل موج‌ها با روش‌های پردازش جدید به صورت زمان واقعی انجام می‌شود (کاپریو و همکاران، ۲۰۱۱).

در این مطالعه، پارامترهایی که در تخمین سریع فاصله رومرکری و بزرگای زمین‌لرزه در سامانه‌های هشدار سریع زلزله کاربرد دارند (τ_{max}^P ، τ_c ، τ_{log} ، τ_{ps} و B)، با مهم‌ترین روش‌ها (با تأکید بر سامانه هشدار سریع زلزله ژاپن) و بر اساس داده‌های سطحی و درون‌چاهی محاسبه می‌شوند و با دقت ارزیابی خواهد شد که اثر ساختگاه تا چه میزان بر تخمین پارامترهای چشم‌های زمین‌لرزه از روی مؤلفه قائم تأثیرگذار است. با لحاظ کردن اثر ساختگاهی

که (w_i) P_i^* توان دوباره نمونه‌برداری شده است.

۴-۲-۲ دوره تناوب طیف توان τ_{ps}

در ادامه مطالعات، دوره تناوب طیف توان τ_{ps} که صورت اصلاح‌شده تعریف پایه دوره تناوب τ_{log} (معادله ۷) است، به صورت زیر تعریف شد (حیدری، ۲۰۱۸):

$$\tau_{ps} = \frac{\sum_i P_i(f_i) \left(\frac{1}{f_i}\right)}{\sum_i P_i(f_i)} \quad (8)$$

که f_i بسامد و P_i ضریب طیف توان سرعت (nM) است که معادل کاهش در نرخ نمونه‌برداری سیگنال اولیه x (n) ببا ضریب M است. M عدد صحیح است و (n) قسمت ابتدایی نگاشت سرعت را نشان می‌دهد. حیدری (۲۰۱۸) نشان داد مقادیر τ_{ps} محاسبه‌شده، وابستگی در خور توجهی به دامنه و محتوای بسامدی ندارند و مشابهت بهتری با بزرگای‌های به دست آمده از روش‌های دیگر مبتنی بر بسامد دارند.

۳ تصحیح اثر ساختگاه در پارامترهای هشدار سریع

جنیش زمین در حوزه زمان اغلب با هماییخت سهم چشممه، مسیر و ساختگاه مدل‌سازی می‌شود. هرگاه فاصله بین دو ایستگاه در مقایسه با فاصله رومرکزی کم باشد، نسبت طیف جنبش زمین در ایستگاه دوم ($Z_2(f)$) به ایستگاه اول ($Z_1(f)$) برابر است (با (هوشیا، ۲۰۱۳)):

$$\frac{Z_2(f)}{Z_1(f)} \cong \frac{S_2(f)}{S_1(f)} \quad (9)$$

که در آن، $S_1(f)$ و $S_2(f)$ به ترتیب اثر ساختگاه در ایستگاه‌های ۱ و ۲ هستند. تحلیل نسبت‌های طیفی از تعداد زیادی زلزله یک مقدار میانگین $\left| \frac{S_2(f)}{S_1(f)} \right|$ خواهد داد. از این تقریب می‌توان برای ایستگاههای سطحی و درون‌چاهی استفاده کرد.

کو و همکاران (۲۰۱۸) اختلاف بزرگاهای تخمین زده شده از داده‌های شتاب‌نگاری سطحی و درون‌چاهی

رو مرکز زمین لرزه ها در شکل ۱ و مشخصات ایستگاه ها در جدول ۱ ارائه شده است. همچنین تغییرات سرعت موج P و S در زیر ایستگاه ها که از وبگاه رسمی شبکه KiK-net استخراج شده، در شکل ۲ نمایش داده شده است.

محدوده بزرگای گشتاوری M_w زلزله ها بین ۳ تا ۵ و فاصله رومبرکری آنها کمتر از ۱۰۰ کیلومتر است. پاسخ دستگاهی شتاب نگارهای ایستگاه های شبکه KiK-net در سطح و درون چاه یکسان است. بسامد طبیعی این شتاب نگارها Hz ۴۵۰ و ضریب میرایی آنها ۰/۷۰۷ است (اوی و همکاران، ۲۰۰۴). شکل موج های استخراج شده از قبل با فیلتر پایین گذر Hz ۳۰ فیلتر شده اند و نرخ نمونه برداری Hz ۲۰۰ است.

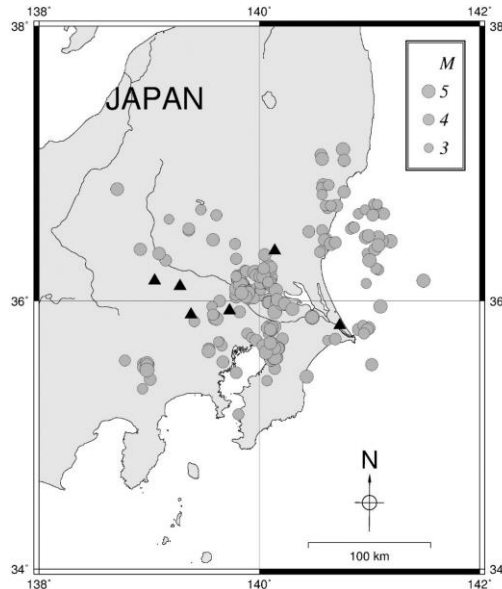
در روش های یادشده، نتایج دقیق تر و مطمئن تری برای سامانه های هشدار سریع زلزله ارائه می شود. برای حذف اثر ساختگاه از تبدیلات زمان - بسامد (تبدیلات زمان کوتاه فوریه STFT) استفاده خواهد شد.

۴ ناحیه مورد مطالعه و داده ها

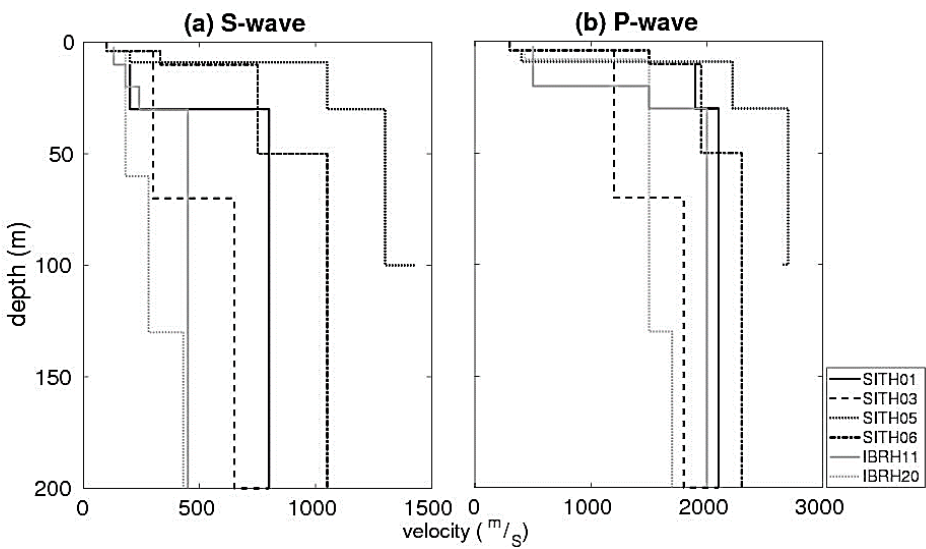
در این مطالعه برای بررسی اثر ساختگاه بر پارامترهای هشدار سریع زمین لرزه، از ۱۸۳۰ شتاب نگاشت زلزله رخداده طی سال های ۲۰۰۸ تا ۲۰۲۰ ثبت شده در ایستگاه های سطحی و درون چاهی شش ایستگاه شتاب نگاری متعلق به شبکه KiK-net ژاپن استفاده شده است. (<http://www.kyoshin.bosai.go.jp/>)

جدول ۱. مشخصات مکان ایستگاه های شتاب نگاری مطالعه شده.

ایستگاه	عرض جغرافیایی (°N)	طول جغرافیایی (°E)	ارتفاع (m)	عمق (m)
SITH01	۳۵/۹۲	۱۳۹/۷۳	۸	۳۵۱۰
SITH03	۳۵/۸۹	۱۳۹/۳۸	۵۱	۱۸۰۰
SITH05	۳۶/۱۵	۱۳۹/۰۵	۱۵۰	۱۰۰
SITH06	۳۶/۱۱	۱۳۹/۲۸	۸۰	۲۰۰
IBRH11	۳۶/۳۷	۱۴۰/۱۴	۶۷	۱۰۳
IBRH20	۳۵/۸۲	۱۴۰/۷۳	۶	۹۲۳



شکل ۱. نقشه رومبرکر زلزله ها (دایره های خاکستری) و ایستگاه های شتاب نگاری (مثلث های سیاه) استفاده شده در این مطالعه.



شکل ۲. تغییرات سرعت موج P و S برای شش ایستگاه مطالعه‌شده. برگرفته از وبگاه رسمی شبکه شتاب‌نگاری KiK-net

SITH06 و IBRH11 که بیشترین تغییر سرعت موج P را با عمق دارند، بیشترین مقادیر اثر ساختگاه را نشان داده‌اند. اختلاف سرعت موج P در سطح و درون چاه که ناشی از نوع رسوبات زیرسطحی است، در مقادیر نهایی اثر ساختگاه به دست آمده مؤثر است. هرچه این اختلاف بیشتر باشد، مقدار اثر ساختگاه نیز بیشتر می‌شود.

۶ تصحیح اثر ساختگاه روی مؤلفه قائم شتاب‌نگاشت در ایستگاه سطحی
در این مطالعه با استفاده از ابزار و اهمامیخت، اثر ساختگاه در حوزه بسامد از طیف جنبش زمین در ایستگاه سطحی حذف می‌شود؛ یعنی با توجه به مشخص بودن اثر ساختگاه $S(f)$ و با فرض $0 \neq S(f) = R(f)$ برقرار است:

$$Z'(f) = \frac{Z(f)}{S(f)} = \frac{M(f)P(f)S(f)}{S(f)} = M(f)P(f) \quad (10)$$

که $Z(f)$ طیف به دست آمده در ایستگاه سطحی است و $P(f)$ و $M(f)$ به ترتیب اثر چشم و مسیر هستند. به این ترتیب، از $Z'(f)$ که طیف حاصل از و اهمامیخت است و اثر ساختگاه از آن حذف شده است، پارامترهای هشدار سریع زلزله به دست می‌آید.

۵ روش پژوهش

در این مطالعه برای بررسی تأثیر اثر ساختگاه بر پارامترهای هشدار سریع زمین‌لرزه، شتاب‌نگاشتهای ثبت شده در ایستگاه‌های سطحی و درون‌جاهی در ژاپن با یکدیگر مقایسه شدند. این شتاب‌نگاشتهای پس از تصحیح خط مبنای یک فیلتر میان‌گذر با ترورث (Butterworth) مرتبه ۴ در محدوده بسامدی 0.1 تا 20 هرتز عبور داده شدند. پنجره موج P از چهار ثانیه ابتدایی نگاشت انتخاب شد. یک تپیر ۵ درصد کسینوسی برای حذف اعوجاجات ناشی از لبه‌های پنجره زمانی انتخاب شده اعمال شد. سپس نسبت طیفی مؤلفه قائم شتاب‌نگاشت در سطح و عمق $(V(f)/V_0(f))$ برای همه ایستگاه‌های مورد مطالعه و همه زلزله‌ها اندازه گیری شد. این نسبت بیانگر اثر ساختگاه بر مؤلفه قائم شتاب‌نگاشت است. اثر ساختگاه هموار شده با میانگین گیری در بازه بسامدی 1 Hz برای شش ایستگاه مطالعه شده در شکل ۳ نشان داده شده است. برای هر ایستگاه دست کم از نگاشت ده زمین‌لرزه استفاده شد که بزرگای گشتاوری آنها در بازه بین 3 تا 5 بود. با توجه به این شکل مشاهده می‌شود ایستگاه‌های SITH05

شکل ۵ نشان داده شده است. میانگین اختلاف پارامترهای به دست آمده از ایستگاه سطحی و درون چاهی با d و همین مقدار پس از اصلاح اثر ساختگاهی با dm نمایش داده شده است:

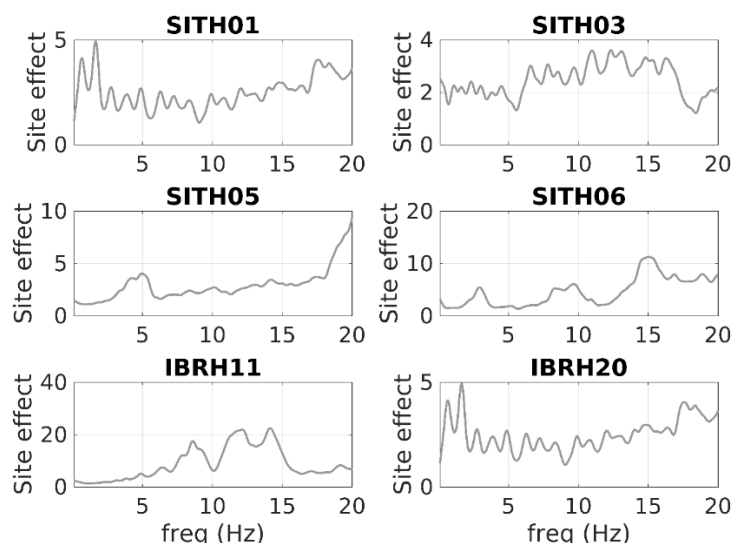
$$d = \overline{X_1 - X_2}, dm = \overline{X_1 - X_2m} \quad (11)$$

مقدار پارامتر d منفی به دست آمد (-0.81)؛ بنابراین پارامتر τ_{max}^P در ایستگاه سطحی نسبت به ایستگاه درون چاهی مقدار بیشتری دارد (دایره های سیاه). اختلاف مقادیر τ_{max}^P پس از اصلاح اثر ساختگاه در ایستگاه سطحی و درون چاهی کمتر شد (-0.32) و مقادیر به سمت خط تساوی تمایل یافتند. با توجه به نتیجه مطالعات گذشته (زیو، ۲۰۱۴ و حیدری، ۲۰۱۸) افزایش مقادیر پارامترهای هشدار سریع وابسته به بسامد باعث می شود بزرگاً بیشتر از مقدار واقعی تخمین زده شود؛ بنابراین با اصلاح اثر ساختگاه انتظار می رود در ایستگاه سطحی، مقادیر کمتری برای بزرگاً تخمین زده شود.

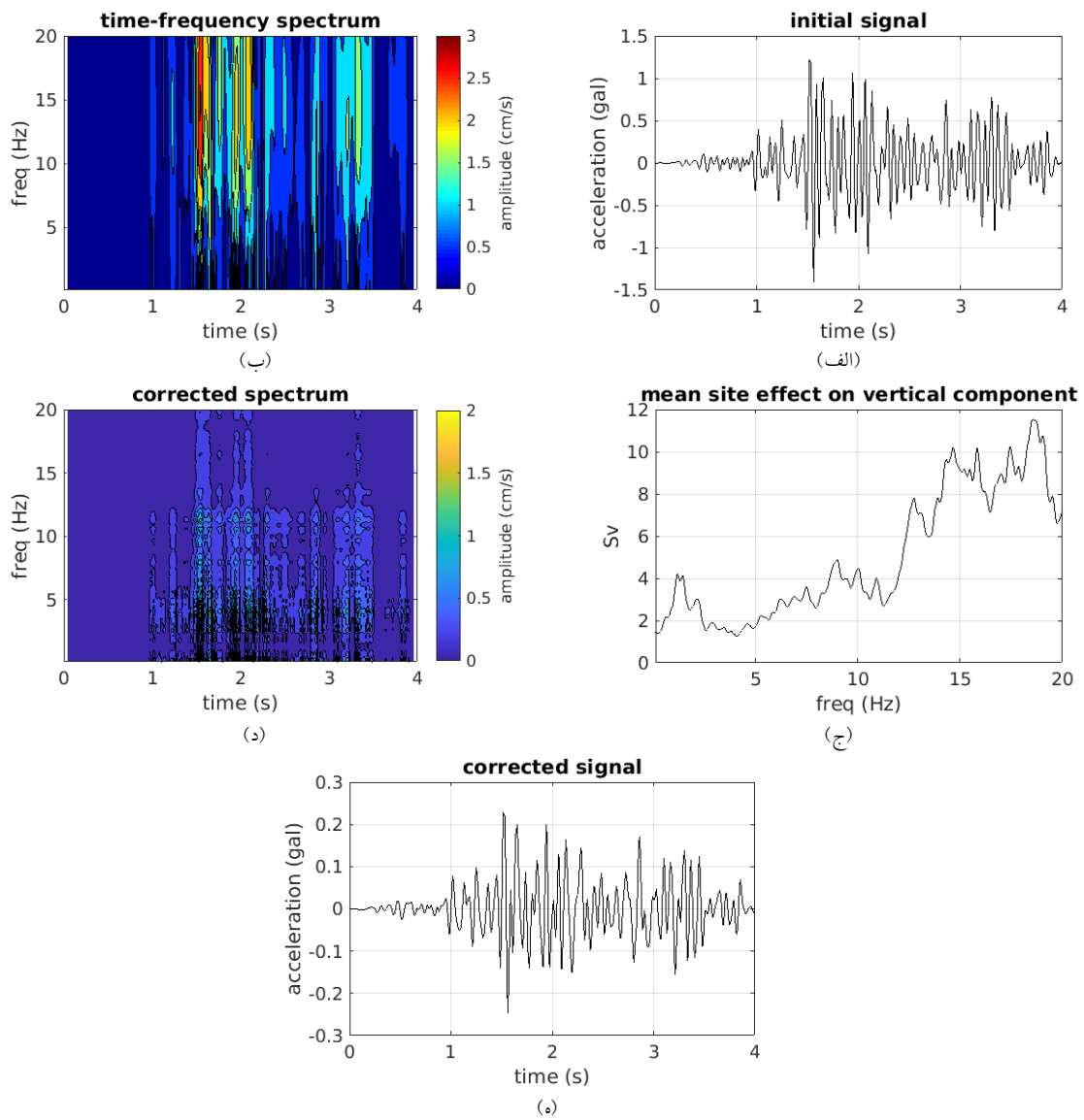
برای نمونه، شکل ۴-الف بخش موج P مؤلفه قائم شتاب نگاشت روی سطح را برای نگاشت زلزله با بزرگای ۳/۸ در تاریخ ۹ مه ۲۰۱۰ در ایستگاه SITH06 در فاصله رومرکزی ۵۹ کیلومتر نشان می دهد. شکل ۴-ب تبدیل فوریه پنجره کوتاه (STFT) این موج را در حوزه زمان-بسامد نشان می دهد. با استفاده از ابزار و اهمامیخت، اثر ساختگاه ایستگاه SITH06 (شکل ۴-ج) از طیف زمان-بسامد سیگنال حذف می شود. نتیجه حذف اثر ساختگاه در شکل ۴-د نشان داده شده است. سپس سیگنالی که اثر ساختگاهی از روی آن حذف شده است با استفاده از عکس تبدیل فوریه به دست می آید (شکل ۴-ه). پارامترهای هشدار سریع زمین لرزه، از این سیگنال اصلاح شده به دست می آیند.

۱-۶ τ_{max}^P

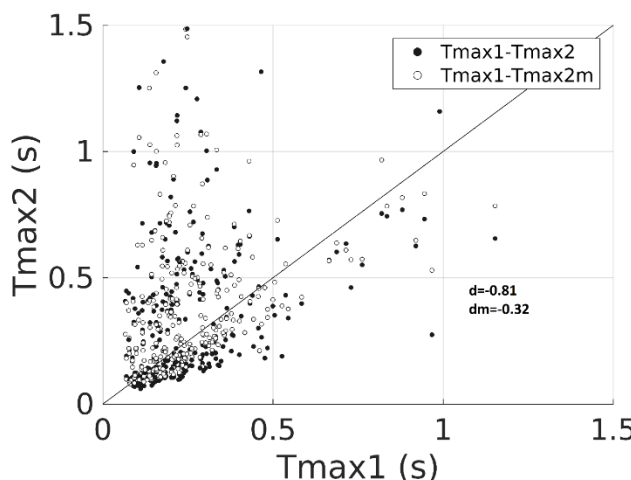
نتایج محاسبه پارامتر هشدار سریع τ_{max}^P از ایستگاه های سطحی (Tmax1) و ایستگاه درون چاهی (Tmax2) در



شکل ۳. اثر ساختگاه هموار شده در مؤلفه قائم شش ایستگاه مطالعه شده.



شکل ۴. (الف) پنجه موج P در مؤلفه قائم شتاب نگاشت زلزله با بزرگای ۳/۸ در تاریخ ۹ مه ۲۰۱۰ ثبت شده در ایستگاه SITH06 روی حسگر سطحی (ب) تبدیل فوریه پنجه کوتاه STFT شتاب نگاشت (ج) اثر ساختگاه میانگین برای مؤلفه قائم ایستگاه SITH06 (د) حذف اثر ساختگاه در حوزه زمان-بسامد از نگاشت اولیه (ه) عکس تبدیل فوریه و بدست آوردن شتاب نگاشت نهایی که اثر ساختگاه از روی آن حذف شده است.

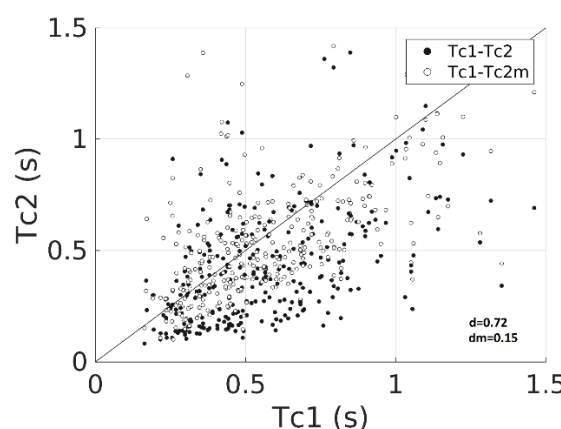


شکل ۵. تغییرات مقادیر τ_{max}^P برای ایستگاه درون‌چاهی (T_{max1}) و ایستگاه سطحی (T_{max2}) با دایره‌های سیاه نشان داده شده است. تغییرات مقادیر τ_{max}^P در ایستگاه درون‌چاهی (T_{max1}) برحسب مقادیر τ_{max}^P پس از اصلاح اثر ساختگاه روی مؤلفه سطحی (T_{max2m}) با دایره‌های سفید نشان داده شده است.

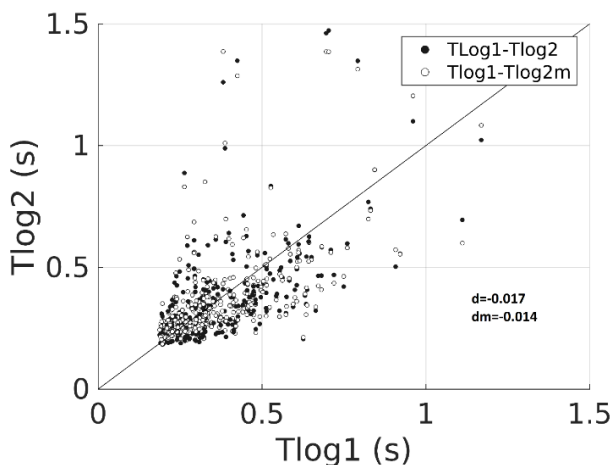
پس از اصلاح اثر ساختگاه، مقادیر τ_c در ایستگاه سطحی افزایش یافته‌اند و برابری مقادیر τ_c در ایستگاه سطحی و درون‌چاهی بیشتر شده است ($dm = 0/15$). مشاهده می‌شود که مقادیر پارامتر τ_c پس از اصلاح اثر ساختگاهی (دایره‌های سفید) به سمت خط تساوی متمایل شده‌اند. با توجه به افزایش این مقادیر پس از اصلاح اثر ساختگاه، بزرگ‌گاهای تخمینی بیشتر خواهد شد.

۲-۶ τ_c

در شکل ۶ تغییرات مقادیر τ_c در ایستگاه‌های سطحی و درون‌چاهی نشان شده است. در مقایسه با پارامتر τ_{max}^P ، بازه تغییرات τ_c بزرگ‌تر است و برخلاف τ_{max}^P ، بازه تغییرات پارامتر هشدار سریع زمین‌لرزه در ایستگاه درون‌چاهی گسترده‌تر است. مقادیر τ_c قبل از اصلاح اثر ساختگاه در ایستگاه درون‌چاهی بیشتر است ($d = 0/72$).



شکل ۶. تغییرات مقادیر τ_c برای ایستگاه درون‌چاهی (T_{c1}) و ایستگاه سطحی (T_{c2}) با دایره‌های سیاه نشان داده شده است. تغییرات مقادیر τ_c در ایستگاه درون‌چاهی (T_{c1}) برحسب مقادیر τ_c پس از اصلاح اثر ساختگاه روی مؤلفه سطحی (T_{c2m}) با دایره‌های سفید نشان داده شده است.



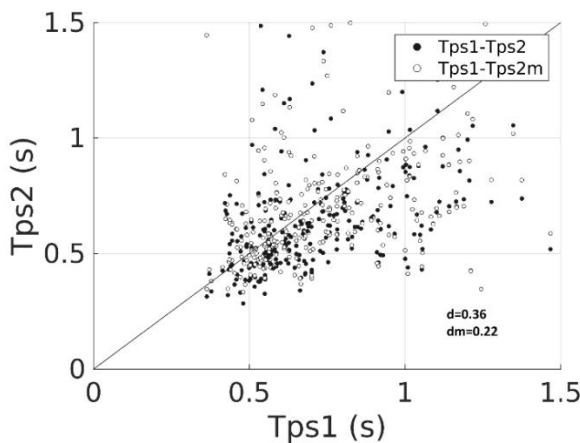
شکل ۷. تغییرات مقادیر τ_{log} برای ایستگاه درونچاهی (Tlog1) و ایستگاه سطحی (Tlog2) با دایره‌های سیاه نشان داده شده است. تغییرات مقادیر τ_{log} در ایستگاه درونچاهی (Tlog1) برحسب مقادیر τ_{log} پس از اصلاح اثر ساختگاه روی مؤلفه سطحی (Tlog2m) با دایره‌های سفید نشان داده شده است.

۴-۶ τ_{ps}

در شکل ۸ تغییرات پارامتر τ_{ps} در ایستگاه درونچاهی (Tps1) و سطحی (Tps2) نشان داده شده است. مشابه پارامتر τ_{log} ، مقادیر τ_{ps} قبل و بعد از اصلاح اثر ساختگاه تغییرات کمی را نشان می‌دهد ($d = 0/36$ و $dm = 0/22$). این پارامتر نیز مشابه τ_{log} چندان متأثر از اثر ساختگاه و ایستگاه سطحی و درونچاهی نیست و در بیان مشخصات چشم زمین‌لرزه، وابستگی کمی به عوامل نزدیک به سطح و ناهمگنی‌ها دارد.

۳-۶ τ_{log}

تغییرات مقادیر τ_{log} در شکل ۷ نشان داده شده است. مقادیر τ_{log} در ایستگاه درونچاهی و سطحی روند بهنسبت یکسانی دارند و نمی‌توان گفت این پارامتر در ایستگاه سطحی با درونچاهی تفاوت چشمگیری دارد ($d = -0/014$ و $dm = -0/017$). در این شکل مشاهده می‌شود مقادیر τ_{log} قبل و بعد از اصلاح اثر ساختگاه اختلاف چندانی ندارند و این پارامتر خیلی تحت تأثیر اثر ساختگاه قرار نگرفته است. بازه تغییرات این پارامتر نیز گسترده نیست و نوسان کمتری را در مقایسه با پارامترهای τ_c^P و τ_{max} نشان می‌دهد.

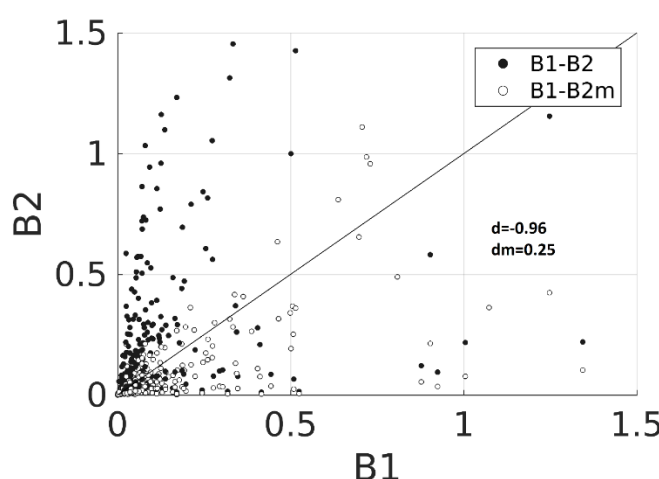


شکل ۸. تغییرات مقادیر τ_{ps} برای ایستگاه درونچاهی (Tps1) و ایستگاه سطحی (Tps2) با دایره‌های سیاه نشان داده شده است. تغییرات مقادیر τ_{ps} در ایستگاه درونچاهی (Tps1) برحسب مقادیر τ_{ps} پس از اصلاح اثر ساختگاه روی مؤلفه سطحی (Tps2m) با دایره‌های سفید نشان داده شده است.

سطح (B2m) کاهش می‌یابد ($dm = 0/25$). به این ترتیب مقادیر B برای ایستگاه‌های سطحی و درون‌چاهی به هم نزدیک می‌شود (دایره‌های سفیدرنگ). نتایج ایستگاه سطحی و درون‌چاهی برای این پارامتر هشدار سریع زمین‌لرزه، اختلاف زیادی دارند و اثر ساختگاهی بهشت‌بر آن تأثیرگذار است.

B ۵-۶

در شکل ۹ تغییرات پارامتر B در ایستگاه درون‌چاهی (B1) و سطحی (B2) نشان داده شده است. با توجه به این شکل، مقادیر پارامتر B در ایستگاه سطحی بیشتر از ایستگاه درون‌چاهی است ($d = -0/96$). پس از اصلاح اثر ساختگاهی، مقدار B برای شتاب‌نگاشتهای روی زمین‌لرزه، اثر ساختگاهی، مقدار B برای شتاب‌نگاشتهای روی



شکل ۹. تغییرات مقادیر B برای ایستگاه درون‌چاهی (B1) و ایستگاه سطحی (B2) با دایره‌های سیاه نشان داده شده است. تغییرات مقادیر B در ایستگاه درون‌چاهی (B1) بر حسب مقادیر B پس از اصلاح اثر ساختگاه روی مؤلفه سطحی (B2m) با دایره‌های سفید نشان داده شده است.

حسگر سطحی نشان می‌دهند. با توجه به اختلاف مقادیر این پارامترها در حسگرهای سطحی و درون‌چاهی، نتیجه‌گیری می‌شود پارامترهای اشاره‌شده، از اثر ساختگاهی متأثر هستند. تأثیرات اثر ساختگاه بر این پارامترها با حذف اثر ساختگاه از مؤلفه قائم نگاشت سطحی بررسی شد. به این منظور رابطه اثر ساختگاه هر ایستگاه با استفاده از معادله اثر ساختگاه پیشنهادی در این مطالعه محاسبه و مقدار میانگین آن برای هر ایستگاه محاسبه شد. با توجه به نتایج اثر ساختگاه مشخص شد در ایستگاه‌هایی که نسبت سرعت موج P در عمق به سطح بیشتر است، اثر ساختگاه مقادیر بزرگ‌تری را نشان می‌دهد (SITH05, SITH06).

۷ نتیجه‌گیری

با توجه به اینکه بهبود پارامترهای هشدار سریع زمین‌لرزه نیازمند شناخت عوامل تأثیرگذار در مقدار آنهاست؛ اثر ساختگاه که پارامتری مؤثر در تفاوت شکل موج امواج ثبت شده در ایستگاه سطحی و درون‌چاهی است، در این مطالعه بررسی و پارامترهای هشدار سریع زمین‌لرزه شامل τ_{ps} , τ_{log} , τ_c و B در ایستگاه‌های سطحی و درون‌چاهی متعلق به شش ایستگاه شتاب‌نگاری ژاپن مطالعه شد. با توجه به نتایج مشخص شد در حسگر درون‌چاهی، پارامترهای هشدار سریع τ_c و τ_{ps} اغلب بزرگ‌تر هستند. پارامترهای B , τ_{log} و τ_{max}^P مقادیر بزرگ‌تر را در

جناب دکتر قیطانچی و داوران محترم ناشناس سپاسگزاریم که با نظرها و پیشنهادهای مفیدشان به پیشرفت مقاله کمک زیادی کردند.

منابع

- Allen, R. M., Gasparini, P., Kamigaichi, O., and Bose, M., 2009, The status of earthquake early warning around the world: An introductory overview: *Seismological Research Letters*, **80**(5), doi:10.1785/gssr1.80.5.682-693.
- Allen, R. M., and Kanamori, H., 2003, The potential for earthquake early warning in Southern California: *Science*, **300**, 786–789.
- Anderson, J., and Hough, S. E., 1984, A model for the shape of the Fourier amplitude spectrum of acceleration at high frequencies: *Bulletin of the Seismological Society of America*, **74**, 1969–1993.
- Aoi, S., Kunugi, T., and Fujiwara, H., 2004, Strong-motion seismograph network operated by NIED: K-NET and KiK-net: *Journal of Japan Association for Earthquake Engineering*, **4**(3), 65-74.
- Boore, D. M., 2003, Simulation of ground motion using the stochastic method: *Pure and Applied Geophysics*, **160**, 636–676.
- Caprio, M., Lancieri, M., Cua, G. B., Zollo, A., and Wiemer, S., 2011, An evolutionary approach to real-time moment magnitude estimation via inversion of displacement spectra: *Geophysical Research Letters*, **38**, L02301.
- Espinosa-Aranda, J. M., Jimenez, A., Ibarrola, G., Alcantar, F., Aguilar, A., Insotroza, M., and Maldonado, S., 1995, Mexico City seismic alert system: *Seismological Research Letters*, **66**, 42-53.
- Heidari, R., 2018, τ_{ps} a new magnitude scaling parameter for earthquake early warning: *Bulletin of Earthquake Engineering*, **3**, 1165-1177.
- Hoshiba, M., 2013, Real-time correction of frequency-dependent site amplification factors for application to earthquake early warning: *Bulletin of the Seismological Society of America*, **103**, 3179-3188.
- Kanamori, H., 1993, Locating earthquakes with amplitude: Application to real-time seismology: *Bulletin of the Seismological Society of America*, **83**(1), 264-268.
- Kanamori, H., 2005, Real-time seismology and earthquake damage mitigation: Annual
- (IBRH11). وجود لایه‌های رسوبی کم سرعت در سطح، باعث تقویت بیشتر دامنه امواج حجمی عبوری از ساختگاه شده است. جهت حذف اثر ساختگاه از مؤلفه قائم حسگر سطحی، از ابزار و اهمامیخت استفاده شد و به این ترتیب شکل موج به گونه‌ای اصلاح شد که اثر ساختگاهی در آن حذف شود. پس از آن، بار دیگر پارامترهای هشدار سریع از شکل موج به دست آمده محاسبه شد.
- در شکل ۶ مشاهده می‌شود τ_{log} ، در ایستگاه درون‌چاهی در مقایسه با ایستگاه سطحی بزرگ‌تر است (دایره‌های سیاه توپر)؛ بنابراین بزرگ‌تر از تخمین زده زلزله در ایستگاه سطحی، کمتر از ایستگاه درون‌چاهی است. پس از اصلاح اثر ساختگاهی در ایستگاه سطحی مشاهده می‌شود پارامتر τ_{ps} ، افزایش یافته و به مقدار به دست آمده از درون‌چاه نزدیک شده است؛ بنابراین بزرگ‌تر از تخمین زده زلزله در این حالت نیز بزرگ‌تر از حالت قبل است و به مقدار به دست آمده از ایستگاه درون‌چاهی نزدیک‌تر است. این شرایط برای پارامتر هشدار سریع τ_{max}^P نیز صادق است.
- با توجه به مقادیر تفاصل میانگین، پارامترهای τ_{log} و τ_{ps} کمترین تأثیر را از اثر ساختگاهی و همچنین ایستگاه‌های سطحی و درون‌چاهی نشان دادند. پارامتر B بیشتر از پارامترهای دیگر به ساختگاه وابسته بود و مقادیر آن پس از اصلاح اثر ساختگاهی کاهش یافت. از نتایج این مطالعه می‌توان دریافت پارامترهای هشدار سریع زمین‌لرزه در مقابل اثر ساختگاه تأثیرپذیری یکسانی ندارند و در استفاده از آنها باید به وابستگی به اثر ساختگاه مرتبط با عوامل نزدیک به سطح توجه داشت.

تقدیر و تشکر

نویسندهای از مؤسسه تحقیقات ملی علوم زمین و پیشگیری از بلایای ژاپن به دلیل در اختیار قرار دادن داده بسیار قدردانی می‌کنند. همچنین از سردبیر محترم مجله

- Review of Earth Planetary Sciences, **33**(1), 195–214.
- Kuo, C., Wen, K. L., Lin, C. M., Hsiao, N. C., and Chen, D. Y., 2018, Site amplification and the effect on local magnitude determination at stations of the surface-downhole network in Taiwan: Soil Dynamics and Earthquake Engineering, **104**, 106-116.
- Lee, W., and Espinosa-Aranda, J. M., 2002, Earthquake early-warning systems: Current status and perspectives, in Zschau, J., Kuppers, A. N., eds., Early Warning Systems for Natural Disaster Reduction, 409-423.
- Nakamura, Y., 1988, On the Urgent Earthquake Detection and Alarm System (UrEDAS): Proceedings of the 9th World Conference on Earthquake Engineering, **VII**, 673–678.
- Nakamura, Y., and B. E. Tucker, 1988, Earthquake warning system for Japan railways' bullet train: implications for disaster prevention in California: Earthquakes and Volcanoes, **20**, 140–155.
- Odaka, T., Ashiya, K., Tsukada, S., Sato, S., Otake, K., and Nozaka, D., 2003, A new method of quickly estimating epicentral distance and magnitude from a single seismic record: Bulletin of the Seismological Society of America, **93**, 526–532.
- Sarmadi, M. A., Heidari, R., Mirzaei, N., and Siahkoohi, H. R., 2021, A comprehensive study of the Kappa value by borehole and surface strong-motion acceleration records: Journal of Seismology, 1-11.
- Shieh, J., Wu, Y., and Allen, R., 2008, A comparison of t_c and t_{max}^P for magnitude estimation in earthquake early warning: Geophysical Research Letters, **35**, L20301, doi:10.1029/2008GL035611.
- Spallarossa, D., Kotha, S. R., Picozzi, M., Barani, S., and Bindi, D., 2019, On-site earthquake early warning: a partially non-ergodic perspective from the site effects point of view: Geophysical Journal International, **216**(2), 919-934.
- Toksoz, M., Dainty, M., and Bullitt, J., 1990, A prototype earthquake warning system for strike-slip earthquake: Pure and Applied Geophysics, **133**, 475-487.
- Wu, Y., and Kanamori, H., 2005, Experiment on an onsite early warning method for the Taiwan early warning system: Bulletin of the Seismological Society of America, **95**(1), 347–353.
- Wu, Y. M., Hsiao, N. C., Lee, W. H., Teng, T. L., and Shin, T. C., 2007, State of the art and progress in the earthquake early warning system in Taiwan: Earthquake early warning systems. Springer, Berlin, Heidelberg, 283-306.
- Yamamoto, S., Rydelek, P., Horiuchi, S., and Wu, C., 2008, On the estimation of seismic intensity in earthquake early warning systems: Geophysical Research Letters, **35**, L07302.
- Ziv, A., 2014, New frequency-based realtime magnitude proxy for earthquake early warning: Geophysical Research Letters, <https://doi.org/10.1002/2014GL061564>.

Eliminating site effects from surface station records for improving earthquake early warning parameters

Mohammad Ali Sarmadi¹, Reza Heidari^{2*}, Noorbakhsh Mirzaei³ and Hamid Reza Siahkoohi³

¹ Ph.D, Department of Earth Sciences, Science and Research Branch, Islamic Azad University, Tehran, Iran
² Assistant Professor, Department of Earth Sciences, Science and Research Branch, Islamic Azad University,

Tehran, Iran

³ Professor, Institute of Geophysics, University of Tehran, Tehran, Iran

(Received: 02 April 2021, Accepted: 31 May 2021)

Summary

Earthquake early warning parameters play an important role in issuing of a warning and reducing casualties caused by earthquakes. Site effects are one of the factors that affecting the values of earthquake early warning parameters (τ_{max}^P , τ_c , τ_{log} , τ_{ps} and B). In this study, in order to investigate the site effects on the values of earthquake early warning parameters, 1830 earthquake accelerograms recorded at the six KiK-net accelerometry stations in Japan between 2008 and 2020, were used. These accelerograms were recorded at the surface and borehole stations. Short time Fourier transform (STFT) as well as deconvolution tool were used to remove the site effects from the accelerograms in the time-frequency domain. After removing the site effect from the waveforms of the surface stations, the values of all the earthquake early warning parameters, especially τ_{max}^P , τ_c and B , were improved and became closer to the values obtained from the bedrock. The results show that the early warning parameters τ_{log} and τ_{ps} have the minimal influence from site effects and also behave on surface and borehole stations similarly. In general, the values of the frequency-dependent early warning parameters τ_c and τ_{ps} increase after modifying the site effect on the vertical component. In contrast, the parameters B , τ_{max}^P and τ_{log} were reduced at all stations. After modification of the site effect, the difference between the calculated values of all parameters on the surface and bedrock are decreased, which indicates the improvement of the results of earthquake early warning systems in estimating the earthquake source parameters.

Keywords: Earthquake early warning, site effects, short time Fourier transform, KiK-net

*Corresponding author:

r.heidari61@gmail.com